

(HUANJING KEXUE)

# ENVIRONMENTAL SCIENCE

第33卷 第3期

Vol.33 No.3

2012

中国科学院生态环境研究中心 主办



# 採 施 静 尊 (HUANJING KEXUE)

# ENVIRONMENTAL SCIENCE

第33卷 第3期 2012年3月15日

## 目 次

典型排放源黑碳的稳定碳同位素组成研究	673	)
典型排放源黑碳的稳定碳同位素组成研究 ····································	679	)
兰州市夏秋季颗粒物谱分布特征研究 赵素平 余晔 陈晋北 刘娜 何建军(	687	)
不同交通状况下道路边大气颗粒物粉浓度粒径分布蛙征	694	<i>)</i>
不同交通状况下道路边大气颗粒物数浓度粒径分布特征 · · · · · · · · · · · · · · · · · · ·	701	)
用水中发子八、【作放初型】主风事门升灯 ————————————————————————————————————	701	)
西北干旱区降水中 8 <sup>16</sup> 0 变化特征及其水汽输送 ············· 李小飞,张明军,李亚举,王圣杰,黄小燕,马潜,马雪宁(1)	720	)
海南东部河口和近岸海域总溶解态无机砷的分布及季节变化········· 曹秀红,任景玲,张桂玲,张金娥,杜金洲,朱德弟( 大辽河口痕量元素砷的河口混合行为····································	720	)
大过河口粮重兀系岬的河口混合行为····································	727	)
渤海湾表层沉积物各形态重金属的分布特征与生态风险评价 徐亚岩,宋金明,李学刚,袁华茂,李宁(		
青岛近岸表层海水中 PAHs 的分布特征及物源初步解析 ······ 李先国,邓伟,周晓,唐旭利,魏新运,王岩(江	741	)
广西乐业大石围天坑群多环芳烃的干湿沉降 孔祥胜,祁士华,黄保健,张原,李杰(	746	)
上海宝山区城市土壤铅污染来源的同位素判别 董辰寅,张卫国,王冠,马鸿磊,刘圆,刘莹,叶雷平,俞立中(		
溶质迁移模型在地下水有机污染源识别中的应用 王树芳,王丽亚,王晓红,林沛,刘久荣,辛宝东,贺国平(	760	)
地下水污染风险评价中特征污染物量化方法探讨	771	)
用于地下水回灌的再生水预处理工艺研究高淯湍,张薛,赵璇,赵刚(	777	)
菲律宾蛤仔养殖对胶州湾沉积物-水界面生源要素迁移的影响 邓可,刘素美,张桂玲,陆小兰,张经( )	782	)
上海都市农业村域地表水非点源氮素的时空分异特征 王楠,毛亮,黄海波,张进忠,周培(2	802	)
不同粒径地表街尘中重金属在径流冲刷中的迁移转化 何小艳,赵洪涛,李叙勇,连宾,王小梅(	810	)
新型人工湿地对工业区降雨径流的净化研究	817	)
改性膨润十位 ) 裁留 游 态 有 机 物的性能 及 机 制 · · · · · · · · · · · · · · · · · ·	825	)
和周丰店蓝香港株计每V与产生的影响因麦研室	832	)
是两大营 D1 的从还是他们是一个一个一个一个一个一个一个一个一个一个一个一个一个一个一个一个一个一个一个	020	)
才記打困 D1 胞介值性初灰内外形体表保的俗保付住明九	030	)
版化对任何小件假裹课相里胜课生飞影响的研究 ····································	0.40	)
用京印几乡河流域京观怜同全间分开对河流水质的影响	849	)
La/Ce 掺涂铁基_氧化铅电极的制备及电催化性能研究	85/	)
La/Ce 掺杂钛基二氧化铅电极的制备及电催化性能研究       郑辉,戴启洲,王家德,陈建孟(         DTT 对三苯基二氧化铅电极的制备及电催化性能研究       潘涛,刘大伟,任随周,郭俊,孙国萍(         N 对地位的对象       ************************************	866	)
$pH$ 及络合剂对亚铁活化 $S_2O_8^{2-}$ 氧化去除活性艳蓝的影响研究 …	871	)
昊氧降解高浓度腐殖酸动力学····································	879	)
采用体积信息熵表征颗粒污泥系统稳定性及其稳定机制    李志华,姬晓琴,李胜,谢磊,赵海龙,王晓昌(	885	)
活性污泥的理化性质与絮凝调理投药量的关系 李婷,王毅力,冯晶,徐萌( {	889	)
采用体积信息熵表征颗粒污泥系统稳定性及其稳定机制·······李志华,姬晓琴,李胜,谢磊,赵海龙,王晓昌(名) 活性污泥的理化性质与絮凝调理投药量的关系········李婷,王毅力,冯晶,徐萌(名) 不同颗粒龄的好氧颗粒污泥性能的研究····································	896	)
颗粒粒径与数量对硝化与反硝化过程的影响 李志华,曾金锋,李胜,姬晓琴,王晓昌(9	903	)
氧化沟不同曝气模式对氮磷去除性能的优化与比较 郭昌梓, 彭党聪, 陈雪梅, 王丹(9	910	)
生物沥浸的酸化效应对城市污泥脱水性能的影响 朱海凤,周立祥,王电站(9	916	)
2种不同生物接触氧化工艺性能差异的微生态研究 钱殷,全向春,裴元生,马景赟,陶银(9	922	)
网生物供价外上橡胶生物的效应平及共血及效应压的影响。	734	,
干旱沙区人工固沙植被演变过程中土壤有机碳氮储量及其分布特征 贾晓红,李新荣,周玉燕,李元寿(9	938	)
密云水库上游流域土壤有机碳和全氮密度影响因素研究 王淑芳,王效科,欧阳志云(9	946	)
外加营养源作用下微生物黏结剂对土壤团聚体的影响 莫艳华,汤佳,张仁铎,李方舟(9	952	)
低分子量腐殖酸改性蒙脱土对黄曲霉素的吸附作用		
液固比对土壤洗涤去除多环芳烃效果的影响	965	)
基于 PPI 的土地利用优化研究	071	)
若尔盖高原湿地藻类多样性研究	070	)
3种杀真菌剂对 AM 真菌侵染和黄芩生长的影响	7/7	)
崇明东滩夏季沉积物厌氧氨氧化菌群落结构与空间分布特征 ········· 郑艳玲,侯立军,陆敏,谢冰,刘敏,李勇,赵慧(9	20/	)
厌氧条件下 2,2',4,4'-四溴联苯醚的微生物降解 卢晓霞,陈超琪,张姝,欧阳,尹力,吴蔚(1		
重金属对白腐菌降解十溴联苯醚的影响 熊士昌, 尹华, 彭辉, 何宝燕, 龙焰, 叶锦韶, 张娜, 彭素芬(1		
有机农药滴滴涕和毒死蜱生物降解机制的分子模拟研究 林玉珍,曾光明,张娱,陈明,蒋敏,张嘉超,鲁伦慧,刘利锋(1		
高效木薯渣分解复合菌群 RXS 的构建及其发酵特性研究 何江,毛忠贵,张庆华,张建华,唐蕾,张宏建(1	.020	)
四环素类抗生素污染畜禽粪便的厌氧消化特征	.028	)
上推流厌氧反应器连续干发酵猪粪产沼气试验研究············· 陈闯,邓良伟,信欣,郑丹,刘刈,孔垂雪(1《环境科学》征稿简则(878) 《环境科学》征订启事(1007) 信息(759,770,870,1027)	.033	)
《 外境科学》 征楊简则 (878) 《 环境科学》 征订启事 (1007) 信息 (759,770,870,1027)		

# 重金属对白腐菌降解十溴联苯醚的影响

熊士昌<sup>1,2</sup>, 尹华<sup>1,2\*</sup>, 彭辉<sup>1,2</sup>, 何宝燕<sup>1,2</sup>, 龙焰<sup>1,2</sup>, 叶锦韶<sup>1,2</sup>, 张娜<sup>1,2</sup>, 彭素芬<sup>1,2</sup>

关键词:白腐菌;重金属;十溴联苯醚;影响;降解

中图分类号: X172 文献标识码: A 文章编号: 0250-3301(2012)03-1008-07

## Effect of Heavy Metals on Degradation of BDE-209 by White-rot Fungus

XIONG Shi-chang<sup>1,2</sup>, YIN Hua<sup>1,2</sup>, PENG Hui<sup>1,2</sup>, HE Bao-yan<sup>1,2</sup>, LONG Yan<sup>1,2</sup>, YE Jin-shao<sup>1,2</sup>, ZHANG Na<sup>1,2</sup>, PENG Su-feng<sup>1,2</sup>

(1. Department of Environmental Engineering, Jinan University, Guangzhou 510632, China; 2. Key Laboratory of Water/Soil Toxic Pollutants Control and Bioremediation of Guangdong Higher Education Institutes, Jinan University, Guangzhou 510632, China)

Abstract: Effects and mechanisms of heavy metals Cu, Cd and Pb on the growth of white-rot fungus P. chrysosporium and its ability of BDE-209 degradation were studied. The results showed that low concentrations of heavy metals (≤1 mg·L<sup>-1</sup>) stimulated the growth of P. chrysosporium with the order of Cd > Pb > Cu when 1 mg·L<sup>-1</sup> of each heavy metal was concerned, while high concentrations ( > 1 mg·L<sup>-1</sup>) depressed it. P. chrysosporium degraded BDE-209 efficiently with degradation efficiency reaching 69.7% after 7 days. The presence of heavy metals significantly influenced the capability of P. chrysosporium to decompose BDE-209 (P < 0.05). Low concentrations of Cu(≤1 mg·L<sup>-1</sup>) and Cd(≤0.5 mg·L<sup>-1</sup>) accelerated the degradation of BDE-209 and the degradation efficiency was enhanced from 69.7% to 84.4% when 1 mg·L<sup>-1</sup> Cu was present, while Pb had negative effect. On the other hand, all three metals under high concentrations (>1 mg·L<sup>-1</sup>) showed depressed effects on the degradation in the order of Cd>Pb>Cu. The growth of P. chrysosporium did not completely positively correlate with the degradation capability of BDE-209. The degradation of BDE-209 by P. chrysosporium conformed to the first-order kinetic model. The reaction rate constant k raised firstly and then declined with increasing concentrations of Cu and Cd, and the highest k of 0.3212 achieved in the presence of 1 mg·L<sup>-1</sup> Cu. By contrast, the constant kdeclined all the way when Pb existed. A further investigation into the effects of heavy metals on degradation of BDE-209 by extracellular enzymes derived from P. chrysosporium was conducted, and the distance correlation analysis of the degradation by extracellular enzymes and the whole cell was carried out. The results demonstrated that the degradation by extracellular enzymes and the whole cell was 63.7%, 69.7% separately, showing no significant difference of degradation capability between them, which proved that the extracellular enzymes played dominating role in the degradation of BDE-209. Furthermore, the distance correlation coefficient R were all greater than 0.9 when three heavy metals existed, certificating that heavy metals affected the degradation of BDE-209 through the interaction between extracellular enzymes and heavy metals.

Key words: P. chrysosporium; heavy metals; BDE-209; effect; degradation

多溴联苯醚(polybrominated diphenyl ethers, PBDEs)是世界第二大溴代阻燃剂<sup>[1]</sup>,因其高效的阻燃性而常被加入到树脂、聚苯乙烯和聚氨酯泡沫等高分子合成材料中,在塑料制品、纺织品、电路板以及建筑材料等领域都有广泛的应用<sup>[2,3]</sup>,其中十溴

收稿日期: 2011-04-20; 修订日期: 2011-06-20

基金项目: 国家自然科学基金委-广东省联合基金项目(U0933002); 国家自然科学基金项目(50978122);中央高校基本科研 业务费专项(21611343)

作者简介:熊士昌(1985~),男,硕士,主要研究方向为环境生物技

术,E-mail:47444082@ qq. com

\* 通讯联系人, E-mail:thyin@jnu.edu.cn

联苯醚(BDE-209)的产量最大,应用最广[4].由于缺 乏化学键的束缚, PBDEs 易于释放出来, 进入环 境[5],通过生物富集[6]、呼吸吸入[7]等方式影响人 类健康. 研究调查显示,我国广东省贵屿电子垃圾拆 卸地土壤中 PBDEs 含量(干重)高达 2720~4250 ng·g<sup>-1</sup>,其中 BDE-209 占到了 35% ~82%<sup>[8]</sup>. 重金 属污染亦是当前国际上普遍关注的一类公害问题, 研究表明,在贵屿,环境重金属 Cu 等含量为对照区 域的 2.4~131 倍[9],对人类健康造成严重危害.目 前关于 PBDEs 降解方面的研究,主要集中在光降 解[10]、高压热液处理[11]、零价铁还原[12]、厌氧微生 物还原[13]等方面,而好氧生物降解开展较少.基于 好氧生物降解在处理有机污染物方面所表现出的高 效、快速的优点[14,15],开展 PBDEs 的好氧降解研究 具有重要意义. 微生物对污染物的降解作用可受多 种因素影响,如共代谢底物,有毒物质等,其中,重金 属由于具有生物毒性,可影响微生物菌株生长繁殖 能力,进而影响污染物的降解作用[16].目前,已有学 者开展了重金属对有机污染物生物降解影响的研 究[17, 18], 而关于重金属对 PBDEs 生物降解影响的 研究报道还较少. 本研究采用对有机污染物有广谱 降解作用的白腐菌(Phanerochaete chrysosporium)为 实验菌株,以BDE-209 为PBDEs代表物,考察重金 属 Cd、Cu、Pb 对白腐菌降解 BDE-209 性能的影响, 并对其影响途径进行初步探究,以期为重金属与 PBDEs 复合污染的微生物修复提供理论依据.

#### 1 材料与方法

#### 1.1 实验材料

### 1.1.1 试剂

BDE-209 (纯度 99%)、HPLC 级正己烷购于Sigma Aldrich 公司;无水 Na<sub>2</sub>SO<sub>4</sub>、CH<sub>2</sub>Cl<sub>2</sub>、葡萄糖、酒石酸铵、KH<sub>2</sub>PO<sub>4</sub>、MgSO<sub>4</sub>·7H<sub>2</sub>O、CaCl<sub>2</sub>、MnSO<sub>4</sub>、NaCl、FeSO<sub>4</sub>·7H<sub>2</sub>O、ZnSO<sub>4</sub>·7H<sub>2</sub>O、AlK(SO<sub>4</sub>)<sub>2</sub>·12H<sub>2</sub>O、Na<sub>2</sub>MoO<sub>4</sub>等购自广州化学试剂厂,均为AR 级.

### 1.1.2 菌株培养

PDA 培养基组成为: 马铃薯汁 20%, 葡萄糖 20 g·L<sup>-1</sup>, KH<sub>2</sub>PO<sub>4</sub> 3 g·L<sup>-1</sup>, MgSO<sub>4</sub> 1.5 g·L<sup>-1</sup>, 硫胺素 8 mg·L<sup>-1</sup>, 琼脂 20 g·L<sup>-1</sup>, pH 6.0.

液体培养基: 葡萄糖 5 g·L<sup>-1</sup>, 酒石酸铵 0.2 g·L<sup>-1</sup>, KH<sub>2</sub>PO<sub>4</sub> 2.0 g·L<sup>-1</sup>, MgSO<sub>4</sub>·7H<sub>2</sub>O 0.5 g·L<sup>-1</sup>, CaCl<sub>2</sub> 0.1 g·L<sup>-1</sup>, BI 微量元素溶液 70 mL(1 L培养基用量), VB1 0.1 mol·L<sup>-1</sup>. BI 微量元素溶液:

白腐真菌(黄孢原毛平革菌)由本课题组保存. 使用前,接种白腐真菌于 PDA 培养基,35℃生化培养箱培养 5 d 后,用灭菌的生理盐水将孢子液洗入三角瓶中,用玻璃纤维滤去菌丝体,于 650 nm 处测其吸光度[吸光度  $A(1.0) = 5 \times 10^6 \, \text{个·mL}^{-1}$ ],调节孢子液浓度至吸光度为 0.6,即为接种用菌悬液. 4℃保存备用.

#### 1.2 实验方法

### 1.2.1 BDE-209 浓度测定

BDE-209 萃取:由于 BDE-209 水溶性很低,因此必须整瓶样品全部萃取.采用超声波辅助萃取法.步骤如下:调节培养液 pH 为 2,加入等体积的萃取剂(二氯甲烷:正己烷 = 1:1),超声萃取 2 次,移出有机相,过无水硫酸钠脱水,后经旋转蒸发器 40℃蒸发至干,用 HPLC 级正己烷洗涤瓶壁,将 BDE-209洗下后转至色谱进样瓶,尽快分析.

BDE-209 检测采用 GC-MS(Shimadzu, Japan),分析条件为:色谱柱为 DB-5MS 石英毛细管柱(15 m×0.25 mm×0.25 μm),载气为氦气. 质谱条件为: EI 源,离子源温度 250℃,检测器电压 1.1 kV,全扫描 m/z 范围为 50~1 000,接口温度 280℃. 仪器采用选择离子模式,通过外标法对 BDE-209 进行定量分析. 分析条件为: 进样口温度 290℃,初始温度 110℃保持 2 min,以 40℃·min<sup>-1</sup> 的速率升至 250℃,以 10 ℃·min<sup>-1</sup> 升至 300 ℃,保持 2 min,以 40℃·min<sup>-1</sup> 升至 325℃保持 8 min.

# 1.2.2 重金属对白腐菌生物量及其降解 BDE-209 的影响

实验于100 mL 锥形瓶中进行,实际处理体系为30 mL 液体培养基. 培养基灭菌后加入一定量重金属储备液,使 Cu、Cd、Pb 浓度分别为0.5、1、2、3、5 mg·L<sup>-1</sup>,并加入30 μL BDE-209 储备液(溶剂为甲苯),使得体系 BDE-209 浓度为1 mg·L<sup>-1</sup>,调节 pH为5.0. 待甲苯挥发后,接入1 mL 白腐菌孢子液,以3 层纱布封口,于30℃、150 r·min<sup>-1</sup>条件下培养,每间隔24 h补充一次无菌去离子水至30 mL,7 d后测定处理体系中的菌体生物量(80℃烘干),同时分析 BDE-209 残留量,计算其降解率;以上实验均设空白对照,每一处理设3个平行,重复2次.

1.2.3 不同重金属浓度下 BDE-209 降解动力学 研究

实验条件同1.2.2 节.分别于1、2、3、4、5、6、7 d 取样分析 BDE-209 残留量.均设空白对照,每一处理设2个平行,重复2次.

1.2.4 白腐菌生物量及培养液葡萄糖浓度变化 考察

不加重金属,其它条件同 1.2.2 节. 分别于 0.1、2.3.4.5.6.7 d 测定培养液葡萄糖浓度,同时测定白腐菌生物量. 葡萄糖浓度测定采用比色法<sup>[19]</sup>,在 0.8 g·L<sup>-1</sup>范围内与  $D_{400}$  线性关系良好( $R^2=0.998$ ),满足测定要求. 生物量测定同 1.2.2 节.

### 1.2.5 不同培养时间下胞外酶降解性能考察

白腐菌胞外酶的提取:接种白腐菌孢子液于液体培养基,调节 pH 为 5.0,于 30℃、150 r·min<sup>-1</sup>条件下培养一定时间后,将培养基离心(6000 r·min<sup>-1</sup>)处理 20 min,收集上清液,即为胞外粗酶液.

分别提取培养 1.2.3.4.5.6.7 d 后的胞外酶,于 100 mL 锥形瓶中加入 30 mL 胞外粗酶液,调节使 BDE-209 浓度为 1 mg·L<sup>-1</sup>,培养条件同 1.2.2节,7 d 后测定 BDE-209 残留量,计算降解率,每一处理设 3 个平行,重复 2 次.

1.2.6 重金属对白腐菌胞外酶降解 BDE-209 的 影响

提取培养 6 d 后的胞外酶,考察重金属对其降解 BDE-209 的影响,其它条件同 1.2.2 节,7 d 后分析 BDE-209 残留量. 均设空白对照,每一处理设 3 个平行,重复 2 次.

### 1.2.7 白腐菌胞外酶对重金属吸附作用考察

胞外酶提取方法同 1.2.5 节,于 100 mL 锥形瓶中加入 30 mL 胞外粗酶液,调节使 BDE-209 浓度为 1 mg·L<sup>-1</sup>,Cu、Pb、Cd 各重金属浓度分别为 0.5、1、2、3、5 mg·L<sup>-1</sup>,于 30°C,150 r·min<sup>-1</sup>条件下处理 5 h 后离心(8000 r·min<sup>-1</sup>,30 min),取上清液,过 0.22  $\mu$ m 滤膜后用电感耦合等离子发射光谱仪测定其中重金属残留浓度,并计算吸附量.设空白对照,每一处理设 3 个平行,重复 2 次.

#### 2 结果与讨论

2.1 重金属对白腐菌生物量及其降解 BDE-209 的 影响

图 1 表示了不同浓度重金属对白腐菌生物量及 其降解 BDE-209 的影响. 结果表明, 低浓度的重金 属对白腐菌生长均有促进作用. 1 mg·L<sup>-1</sup> Cu、Cd、Pb 作用下菌丝体干重分别为0.049 2、0.052 7、0.051 7 g,均大于空白时的菌丝体重量(0.039 g),促进作用为 Cd > Pb > Cu. Cu 为菌体生长的必需元素,适量添加可促进菌体生长. 而 Cd、Pb 促进原因可考虑为低剂量的有毒物的"毒物兴奋效应",即由生物体对胁迫响应的"过度补偿"引起的. 研究表明,低剂量有毒物对细胞分裂与增殖有促进作用<sup>[20,21]</sup>. 而随着 3 种重金属浓度的增加,其对菌体生长表现为抑制作用并逐渐增强,其中 Cd 的抑制作用最明显,Pb 次之,Cu 最不明显.

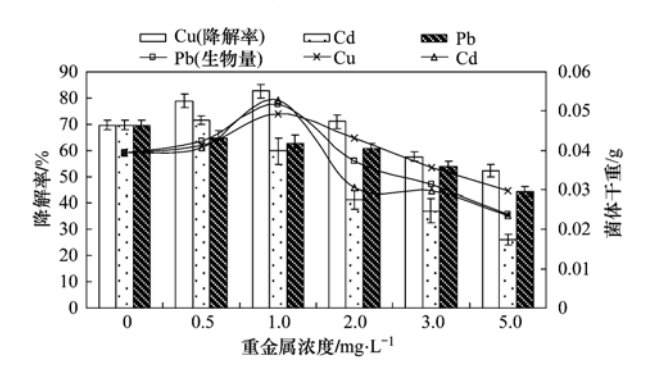


图 1 重金属对白腐菌生物量及其降解 BDE-209 的影响 Fig. 1 Effects of heavy metals on biomass of *P. chrysosporium* and the degradation of BDE-209

白腐菌是一种高效的 BDE-209 降解菌. 未添加重金属时降解率高达 69.7%. 以不同种类及浓度重金属为因素,对其存在下白腐菌对 BDE-209 的降解进行方差分析,结果表明各重金属的存在均对 BDE-209 的降解产生显著影响(P < 0.05). Cu 浓度为 1 mg·L<sup>-1</sup>时,表现为促进降解的作用,此时降解率达84.4%. Cd 浓度为 0.5 mg·L<sup>-1</sup>时,亦有微弱促进,降解率为73.4%. 而对于重金属 Pb,未表现出促进作用,整体为降解率下降趋势. 而随着 3 种重金属浓度的进一步增加,降解率均表现为下降趋势.

二者对比可发现, Cu 存在时, 生物量与降解率存在较好的正相关, Cu 作为生长必需元素, 一定浓度可促进菌体生长, 亦可作为菌体酶的辅助因子而发挥作用; 而 Cd 及 Pb 为 1 mg·L<sup>-1</sup>时虽然白腐菌生物量表现为增加, 但 BDE-209 降解率却有所下降, 说明这 2 种重金属存在时白腐菌对 BDE-209 的降解与菌体本身生长并不完全呈正相关, 虽然菌体生长并未受到太大的影响, 但相关酶的活性可能受到了抑制, 因此降解作用减弱. 研究表明, 某些真菌具有自我保护系统, 其分泌物可与重金属结合, 从而可降低重金属对菌体的毒害作用<sup>[22]</sup>. Baldrian 认

为<sup>[23]</sup>,黄孢原毛平革菌的胞外分泌物可螯合重金属.这与本研究的实验结果有相似之处.

2.2 重金属对白腐菌降解 BDE-209 动力学的影响 为了进一步考察重金属对白腐菌降解 BDE-209 过程的影响,进行了降解动力学实验研究,结果 见图 2. 由图 2 可知,白腐菌降解 BDE-209 具有明显 的延迟期.2 d后 BDE-209 进入了一个快速降解阶 段,6~7d趋于平稳.由图2(b)可知,前3d各浓度 Cd 的存在对 BDE-209 降解速率影响不大,3 d 后降 解速率出现明显差异,其中 5 mg·L-1 Cd 表现出明 显抑制降解的作用,降解速率趋于0,BDE-209 残留 量基本未变;而 Cd 浓度为 2、3 mg·L-1时于第 4 d 开始 BDE-209 残留量趋于稳定. 图 2(a) 与图 2(c) 表现出相似的规律,3 d 后表现出较明显的降解速 率差异,其中重金属浓度为3、5 mg·L-1时降解速率 较小,4 d后 BDE-209 残留量变化不大;其它浓度于 5 d 后降解速率开始降低,6~7 d BDE-209 残留量 趋于稳定.

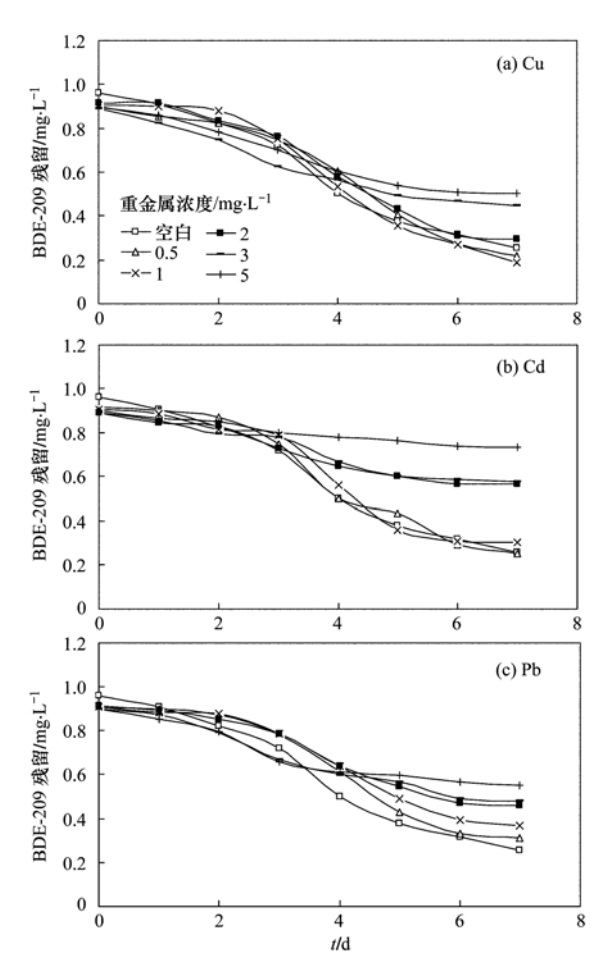


图 2 重金属存在时白腐菌对 BDE-209 的降解动力学

Fig. 2 Dynamic curves of BDE-209 degradation by P. chrysosporium in the presence of heavy metals

对于降解反应前期的延迟期,由于本实验添加了供孢子萌发的葡萄糖,因此前期菌体主要消耗易于利用的葡萄糖而非 BDE-209 用于自身繁殖,从而导致了延迟期的产生. 培养液 0~2 d 时葡萄糖浓度的急剧下降与生物量的快速上升(图3)也证明了这一点.

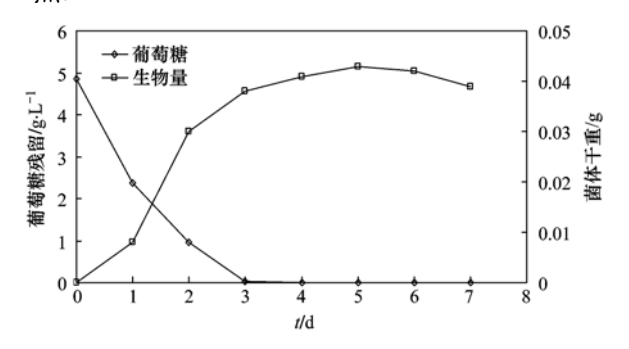


图 3 降解体系葡萄糖浓度及生物量的变化

Fig. 3 Variations of biomass and glucose concentration in the degradation system

在排除降解延迟期(0~2 d)的影响下,对降解过程用以下一级动力学方程进行分析.

$$\ln c = a + kt$$

$$k = \frac{1}{t} \ln \frac{a}{a - x}$$

式中,c 为 BDE-209 浓度,t 为降解时间,k 为一级反 应速率常数,a 为 t=0 时反应物浓度,以 x 表示 t 时 刻已去除的反应物浓度,则尚未反应的反应物浓度 为a-x. 由动力学拟合结果(表1)可知,白腐菌降 解 BDE-209 能较好地符合一级反应动力学, R 值为 0.9863.Cu 存在条件下,随着其浓度的增加,降解 速率常数 k 表现为先增加后减少;  $1 \text{ mg·L}^{-1}$  时 k 值 达到最大,为0.3212,较空白时(k = 0.2453)有较 明显提高,这与前述 1 mg·L<sup>-1</sup> Cu 可较明显促进白 腐菌降解 BDE-209 的实验结果相吻合. Cd 存在条 件下,随着其浓度的增加,k值表现为逐渐减小,当 浓度为  $0.5 \text{ mg} \cdot \text{L}^{-1}$ 时, k 值最大(k = 0.2617), 相比 空白(k=0.2453)有微弱提高,表明0.5 mg·L<sup>-1</sup> Cd 对白腐菌降解 BDE-209 有微弱促进作用. Pb 存在条 件下,k 值亦表现为逐渐减小,当浓度为  $0.5 \text{ mg} \cdot \text{L}^{-1}$ 时,k 值最大(k = 0.2312), 但较空白时(k =0.2453)有所减少,表明不同浓度的 Pb 均可对白腐 菌降解 BDE-209 产生抑制作用. 而随着 3 种重金属 浓度的进一步提高,k值均呈减小趋势,表明重金属 对降解的抑制作用随着重金属浓度的增加而增大. 通过不同重金属间 k 值的比较可知,低浓度( $\leq 1$ mg·L-1)时,Cu 对白腐菌降解 BDE-209 的促进作用

0.9311

	表 1	降解动力学计算值	
Table 1	Kinetic	equation of BDE-209	degradation

重金属种类	浓度/ mg·L⁻¹	拟合公式	速率常数 k/d-1	R 值
空白	_	$\ln c = -0.245 \ 3t - 0.169 \ 9$	0. 245 3	0. 986 3
	0. 5	$\ln c = -0.285 \ 3t - 0.067 \ 6$	0. 285 3	0. 984 2
	1	$\ln c = -0.3212t - 0.0413$	0. 321 2	0. 994 4
Cu	2	$\ln c = -0.2324t - 0.1221$	0. 232 4	0. 984 8
	3	$\ln c = -0.\ 101\ 7t - 0.\ 346\ 0$	0. 101 7	0. 973 0
	5	$\ln c = -0.0948t - 0.2782$	0. 094 8	0. 967 0
	0. 5	$\ln c = -0.2617t - 0.0890$	0. 261 7	0. 975 9
	1	$\ln c = -0.233 \ 6t - 0.149 \ 7$	0. 233 6	0. 957 8
$\operatorname{Cd}$	2	lnc = -0.0781t - 0.2337	0. 078 1	0. 955 0
	3	$lnc = -0.074 \ 1t - 0.228 \ 0$	0. 074 1	0. 955 8
	5	$lnc = -0.028 \ 2t - 0.181 \ 8$	0. 028 2	0. 961 5
	0. 5	lnc = -0.2312t - 0.0880	0. 231 2	0. 983 6
	1	$\ln c = -0.1921t - 0.0974$	0. 192 1	0. 989 4
Pb	2	$\ln c = -0.137  1t - 0.154  5$	0. 137 1	0. 983 0
	3	lnc = -0.0998t - 0.2765	0. 099 8	0. 981 5

lnc = -0.0664t - 0.3039

最明显. 而高浓度(>1 mg·L-1)时各重金属对白腐 菌降解 BDE-209 均表现为抑制作用,其中 Cd 的抑 制作用最强,5 mg·L<sup>-1</sup>时速率常数为 k = 0.0282,较 空白时(k = 0.2453) 明显减小, Pb 次之, Cu 的抑制 作用最小.

5

#### 2.3 重金属存在下胞外酶降解性能研究

#### 2.3.1 不同培养时间胞外酶降解性能考察

本实验考察了不同培养时间下白腐菌所产胞外 酶的降解性能,结果见图 4. 培养时间较短时(0~2 d) 胞外酶活性较弱, 降解率较低(<10%), 培养时 间 > 3 d 后, 胞外酶活性显著上升, 培养 6~7 d 时达 到最大,因此,提取培养6d后的胞外酶进行后续 实验.

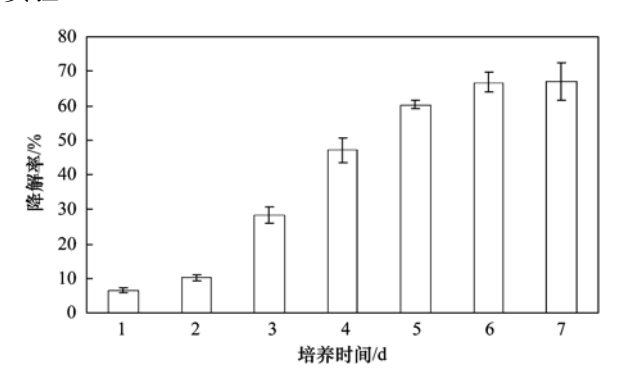


图 4 白腐菌不同生长阶段所产胞外酶降解性能考察

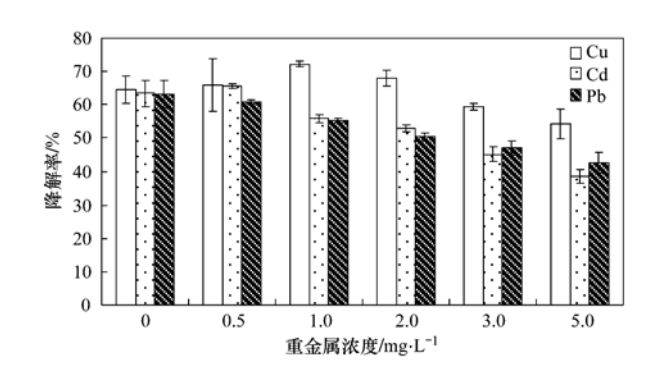
Fig. 4 Degradation of BDE-209 by extracellular enzymes from P. chrysosporium produced in different growing periods

## 2.3.2 重金属对白腐菌胞外酶降解 BDE-209 的影响 本实验考察了重金属存在下白腐菌胞外酶对 BDE-209 的降解性能,结果见图 5. 由图 5 可知,当

重金属浓度为0时,胞外酶降解与菌体降解性能差 异不大,降解率分别为63.7%和69.7%.由此可知, 白腐菌对 BDE-209 降解主要依靠胞外酶进行. 低浓 度的 Cd(0.5 mg·L<sup>-1</sup>)及 Cu(1 mg·L<sup>-1</sup>)可促进胞外 酶的活性,从而促进了 BDE-209 的降解,而 Pb 的存 在一直表现为对胞外酶活性的抑制,导致降解率的 持续降低. 研究表明, 适当添加 Cu 和 Cd 可使白腐 菌所产 Lac 酶的活性增加,而 Ag、Hg 和 Pb 的加入 降低了 Lac 酶的活性<sup>[23]</sup>. 这与本研究有相似之处. Cu 为生物必需元素,亦是多种酶的激活剂,适量添 加可促进相关酶的活性. 低剂量的 Cd2+ 可能部分代 替 Zn2+功能,介导多个转录因子结合到基因的调控 区域上,并且还作为转录和复制过程中的关键酶的 辅助因子发挥作用[24],研究表明,低浓度的 Cd 可促 进相关酶的活性[25]. 对比图 1 和图 5 可知, 胞外酶 降解与白腐菌降解表现出一定的相似性, 运用统计 分析软件 SPSS 17.0 对二者数据进行距离相关分析 (distance correlation),结果见表 2. 结果表明,白腐 菌降解与胞外酶降解 BDE-209 有较好的相关性,3 种重金属存在条件下的相关分析 R 值均大于 0.9. 因此可以认为,重金属主要通过影响胞外酶的方式 来影响 BDE-209 的降解.

0.0664

这一实验结果能更好地解释 2.1 节中降解率与 生物量趋势不符的情况. 由于胞外酶是起降解作用 的主要部分,当 Cd 及 Pb 浓度为 1 mg·L<sup>-1</sup>时,胞外 酶的活性受到了不同程度的抑制,因此降解作用受 到抑制.而由于胞外酶与重金属的结合可为菌体脱 毒,因此菌体生长并未受到明显影响.



#### 图 5 重金属对白腐菌胞外酶降解 BDE-209 的影响

Fig. 5 Effects of heavy metals on the degradation of BDE-209 by extracellular enzymes from  $P.\ chrysosporium$ 

#### 表 2 SPSS 17.0 距离相关性分析结果

Table 2 Results of distance correlation analysis by SPSS 17.0

重金属种类	R 值	结论
Cu	0. 939	这是相似矩阵
$\operatorname{Cd}$	0.960	这是相似矩阵
Pb	0. 923	这是相似矩阵

本实验结果也进一步解释了降解延迟期的产生,由2.2节及2.3.1节可知0~2d时体系养分充足,菌体利用葡萄糖用于自身快速繁殖;此时胞外酶降解性能较弱,而胞外酶是起降解作用的主要部分,因而导致了延迟期的产生.研究表明,白腐菌对木质素的降解发生在次生代谢阶段,只有在营养缺失的情况下有关降解的酶才会产生<sup>[26]</sup>.这与本研究有相似之处.

#### 2.3.3 胞外酶对重金属的吸附作用

为了进一步探讨重金属影响 BDE-209 降解的机制,考察了白腐菌胞外酶对各重金属的吸附作用. 由图 6 可知,胞外酶对重金属有吸附作用,且随着重金属浓度的增加,其吸附量呈上升趋势.由于重金属与酶结合可能改变酶的性质,且前面实验已经证实

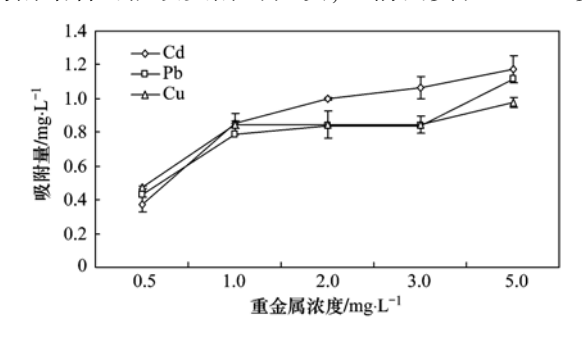


图 6 白腐菌胞外酶对重金属的吸附作用

Fig. 6 Adsorption of heavy metals by the extracellular enzymes from *P. chrysosporium* 

白腐菌对 BDE-209 的降解主要由胞外酶完成,因此,重金属对 BDE-209 降解有直接的影响. 对比可发现,低浓度( $\leq 1 \text{ mg} \cdot \text{L}^{-1}$ )时,胞外酶对各重金属吸附量差异不大,但由于各重金属的毒性不同,从而产生如图 1 的降解率差异现象. 由图 1 可知,高浓度( $> 1 \text{ mg} \cdot \text{L}^{-1}$ )时 Cd 对降解率影响最大,Pb 次之,Cu 最小. 由图 6 可知,Cd 浓度高时胞外酶对其吸附最为明显,因此酶活性的抑制作用最强,从而对降解的抑制亦最强,Pb 次之,Cu 的吸附作用最小.

#### 3 结论

- (1) 一定浓度( $\leq 1 \text{ mg·L}^{-1}$ )的重金属可促进 白腐菌的生长, $1 \text{ mg·L}^{-1}$ 时促进作用为 Cd > Pb > Cu. 生物量变化与降解率不完全正相关.
- (2) 白腐菌对 BDE-209 的降解较好地符合一级反应动力学,重金属的种类和浓度均可影响 BDE-209 的降解,低浓度 Cu (1 mg·L<sup>-1</sup>)、Cd (0.5 mg·L<sup>-1</sup>)可促进白腐菌对 BDE-209 的降解,其中 1 mg·L<sup>-1</sup> Cu 表现出最明显的促进作用,降解率为84.4%,较空白提高 14.7%,速率常数 k=0.32;高浓度(>1 mg·L<sup>-1</sup>)的重金属对白腐菌降解 BDE-209 皆表现为抑制作用,抑制作用为 Cd > Pb > Cu,其中 5 mg·L<sup>-1</sup> Cd 抑制作用最明显,降解率为26.3%,速率常数 k=0.03.
- (3) 白腐菌对 BDE-209 的降解主要依靠胞外酶进行. 重金属主要通过影响胞外酶的方式来影响 BDE-209 的降解.

#### 参考文献:

- [1] Zhang X L, Luo X J, Liu H Y, et al. Bioaccumulation of several brominated flame retardants and dechlorane plus in waterbirds from an E-waste recycling region in South China: associated with trophic level and diet sources [J]. Environmental Science and Technology, 2011, 45(2): 400-405.
- [2] Xia C H, Lam J C W, Wu X G, et al. Levels and distribution of polybrominated diphenyl ethers (PBDEs) in marine fishes from Chinese coastal waters [J]. Chemosphere, 2011, 82(1): 18-24.
- [3] De Wit C A. An overview of brominated flame retardants in the environment [J]. Chemosphere, 2002, 46(5): 583-624.
- [4] 高世珍, 赵兴茹, 崔世茂, 等. 典型持久性有机污染物在翅碱蓬中的分布特征 [J]. 环境科学, 2010, **31**(10): 2456-2461.
- [5] Muir D C G, Backus S, Derocher A E, et al. Brominated flame retardants in polar bears (*Ursus maritimus*) from Alaska, the Canadian Arctic, East Greenland, and Svalbard [J]. Environmental Science and Technology, 2006, 40 (2): 449-455.

[6] Schecter A, Päpke O, Harris T R, et al. Polybrominated diphenyl ether (PBDE) levels in an expanded market basket survey of US food and estimated PBDE dietary intake by age and sex [J]. Environmental Health Perspectives, 2006, 114(10): 1515-1520.

1014

- [7] Stuart H, Ibarra C, Abdallah M A E, et al. Concentrations of brominated flame retardants in dust from United Kingdom cars, homes, and offices: Causes of variability and implications for human exposure [J]. Environment International, 2008, 34(8): 1170-1175.
- [8] Leung A O W, Luksemburg W J, Wong A S, et al. Spatial distribution of polybrominated diphenyl ethers and polychlorinated dibenzo-p-dioxins and dibenzofurans in soil and combusted residue at Guiyu, an electronic waste recycling site in southeast China [J]. Environmental Science and Technology, 2007, 41 (8): 2730-2737.
- [ 9 ] Guo Y, Huang C J, Zhang H, et al. Heavy Metal Contamination from Electronic Waste Recycling at Guiyu, Southeastern China [ J]. Journal of Environmental Quality, 2009, 38 (4): 1617-1626.
- [10] Rayne S, Wan P, Ikonomou M. Photochemistry of a major commercial polybrominated diphenyl ether flame retardant congener: 2, 2', 4, 4', 5, 5'- Hexabromodiphenyl ether (BDE153) [J]. Environment International, 2006, 32 (5): 575-585.
- [11] Nose K, Hashimoto S, Takahashi S, et al. Degradation pathways of decabromodiphenyl ether during hydrothermal treatment [J]. Chemosphere, 2007, 68(1): 120-125.
- [12] Keum Y S, Li Q X. Reductive debromination of polybrominated diphenyl ethers by zerovalent iron [J]. Environmental Science and Technology, 2005, 39(7): 2280-2286.
- [13] He J Z, Robrock K R, Alvarez-Cohen L. Microbial reductive debromination of polybrominated diphenyl ethers (PBDEs) [J]. Environmental Science and Technology, 2006, 40 (14): 4429-4434.
- [14] Cho H S, Moon H S, Kim M, et al. Biodegradability and biodegradation rate of poly(caprolactone)-starch blend and poly (butylene succinate) biodegradable polymer under aerobic and anaerobic environment [J]. Waste Management, 2011, 31(3);

475-480.

学

- [15] Du L N, Wang S, Li G, et al. Biodegradation of malachite green by Pseudomonas sp. strain DY1 under aerobic condition: characteristics, degradation products, enzyme analysis and phytotoxicity [J]. Ecotoxicology, 2011, 20(2): 438-446.
- [16] Lin C W, Chen S Y, Cheng Y W. Effect of metals on biodegradation kinetics for methyl tert- butyl ether [ J ]. Biochemical Engineering Journal, 2006, 32(1): 25-32.
- [17] Pérez R M, Cabrera G, Gómez J M, et al. Combined strategy for the precipitation of heavy metals and biodegradation of petroleum in industrial wastewaters [J]. Journal of Hazardous Materials, 2010, 182(1-3): 896-902.
- [18] 邓军, 尹华, 叶锦韶, 等. 氧化节杆菌与苯并[a] 芘-镉交互作用机理[J]. 化工学报, 2010, **61**(3): 747-753.
- [19] 张志良, 瞿伟菁. 植物生理学实验指导 [M]. 北京: 高等教育出版社, 2003. 129-131.
- [20] Bärlocher F, Guenzel K, Sridhar K R, et al. Effects of 4-n-nonylphenol on aquatic hyphomycetes [J]. Science of the Total Environment, 2011, 409(9): 1651-1657.
- [21] Giddabasappa A, Hamilton W R, Chaney S, et al. Low-level gestational lead exposure increases retinal progenitor cell proliferation and rod photoreceptor and bipolar cell neurogenesis in mice [J]. Environmental Health Perspectives, 2011, 119 (1): 71-77.
- [22] Göehre V, Paszkowski U. Contribution of the arbuscular mycorrhizal symbiosis to heavy metal phytoremediation [J]. Planta, 2006, 223(6): 1115-1122.
- [23] Baldrian P. Interactions of heavy metals with white-rot fungiful [J]. Enzyme and Microbial Technology, 2003, 32(1): 78-91.
- [24] Sobkowiak R, Deckert J. Cadmium-induced changes in growth and cell cycle gene expression in suspension-culture cells of soybean [J]. Plant Physiology and Biochemistry, 2003, 41(8): 767-772.
- [25] Zhang Y, Shen G Q, Yu Y S, et al. The hormetic effect of cadmium on the activity of antioxidant enzymes in the earthworm Eisenia fetida [J]. Environmental Pollution, 2009, 157 (11): 3064-3068.
- [26] 江凌,吴海珍,韦朝海,等. 白腐菌降解木质素酶系的特征 及其应用[J]. 化工进展,2007,26(2):198-203.

# **HUANJING KEXUE**

Environmental Science (monthly)

Vol. 33 No. 3 Mar. 15, 2012

# **CONTENTS**

COMEMIS
Stable Carbon Isotope of Black Carbon from Typical Emission Sources in China
Size Distribution Properties of Atmospheric Aerosol Particles During Summer and Autumn in Lanzhou
Particle Number Size Distribution near a Major Road with Different Traffic Conditions
Atmospheric Particle Formation Events in Nanjing During Summer 2010
Characteristics of δ <sup>18</sup> O in Precipitation and Moisture Transports over the Arid Region in Northwest China ······· LI Xiao-fei, ZHANG Ming-jun, LI Ya-ju, et al. (711)
Distributions and Seasonal Variations of Total Dissolved Inorganic Arsenic in the Estuaries and Coastal Area of Eastern Hainan
CAO Xiu-hong, REN Jing-ling, ZHANG Gui-ling, et al. (720)
Mixing Behavior of Arsenic in the Daliaohe Estuary  JIAN Hui-min, YAO Qing-zheng, YU Li-xia, et al. (727)
Variation Characteristics and Potential Ecological Risk Assessment of Heavy Metals in the Surface Sediments of Bohai Bay  XU Ya-yan, SONG Jin-ming, LI Xue-gang, et al. (732)
Distribution of PAHs in Surface Seawater of Qingdao Coast Area and Their Preliminary Apportionment LI Xian-guo, DENG Wei, ZHOU Xiao, et al. (741)
Atmospheric Deposition of PAHs in Dashiwei Karst Tiankeng Group in Leye, Guangxi
Lead Isotope Signatures and Source Identification in Urban Soil of Baoshan District, Shanghai
Solute Transport Modeling Application in Groundwater Organic Contaminant Source Identification WANG Shu-fang, WANG Li-ya, WANG Xiao-hong, et al. (760)
Quantitative Method of Representative Contaminants in Groundwater Pollution Risk Assessment
Study on the Advanced Pre-treatments of Reclaimed Water Used for Groundwater Recharge
Influence of Ruditapes philippinarum Aquaculture on Benthic Fluxes of Biogenic Elements in Jiaozhou Bay DENG Ke, LIU Su-mei, ZHANG Gui-ling, et al. (782) Influence of Spatial Difference on Water Quality in Jiuxiang River Watershed, Nanjing
Temporal and Spatial Variation of Non-Point Source Nitrogen in Surface Water in Urban Agricultural Region of Shanghai
Migration and Transformation of Heavy Metals in Street Dusts with Different Particle Sizes During Urban Runoff  WANG Nan, MAO Liang, HUANG Hai-bo, et al. (802)
HE Xiao-yan, ZHAO Hong-tao, LI Xu-yong, et al. (810)
Treatment Studies of Industrial Rainoff With a New Type of Constructed Wetland
Emergent Retention of Organic Liquid by Modified Bentonites; Property and Mechanism LI Yu, LIU Xian-jun, ZHANG Xing-wang, et al. (825)
Production of Peroxide Hydrogen in Chattonella ovata Hong Kong Strain
Characteristics Study of Extracellular Active Substance of Bacillus sp. B1 on Phaeocystis globosa · · · · LI Qiang, ZHAO Ling, YIN Ping-he (838)
Effects of Sediment on the Growth of Microcystis and Anabaena in Yanghe Reservoir
New-Type Electrodeless Excilamp for Advanced Treatment on Nitrogen-Heterocyclic Compounds (NHCs) in Aqueous Solution  YE Zhao-lian, WANG Bin, LU Juan-juan, et al. (849)
Preparation and Electro-catalytic Characterization on La/Ce Doped Ti-base Lead Dioxide Electrodes ZHENG Hui, DAI Qi-zhou, WANG Jia-de, et al. (857)
Study on Decolorization of Triphenylmethane Dyes by DTT  PAN Tao, LIU Da-wei, REN Sui-zhou, et al. (866)
Influences of nH and Complexing Agents on Degradation of Reactive Brilliant Blue KN-R by Ferrous Activated Persulfate
Degradation Kinetics of Ozone Oxidation on High Concentration of Humic Substances
Index of Stability and Its Mechanisms of Aerobic Granular System Using Volume-based Information Entropy LI Zhi-hua, JI Xiao-qin, LI Sheng, et al. (885)
Relationship Between Physicochemical Characteristics of Activated Sludge and Polymer Conditioning Dosage LI Ting, WANG Yi-li, FENG Jing, et al. (889) Research of Aerobic Granule Characteristics with Different Granule Age
Effect of Size and Number of Aerobic Granules on Nitrification and Denitrification
Optimization and Comparison of Nitrogen and Phosphorus Removal by Different Aeration Modes in Oxidation Ditch
GUO Chang-zi, PENG Dang-cong, CHENG Xue-mei, et al. (910)
Effect of Acidification on the Dewaterability of Sewage Sludge in Bioleaching
Microbial Ecology Analysis of the Biofilm from Two Biological Contact Oxidation Processes with Different Performance
QIAN Yin, QUAN Xiang-chun, PEI Yuan-sheng, et al. (922)
Altered Microbial Communities Change Soil Respiration Rates and Their Temperature Sensitivity FAN Fen-liang, HUANG Ping-rong, TANG Yong-jun, et al. (932)
Storages and Distributed Patterns of Soil Organic Carbon and Total Nitrogen During the Succession of Artificial Sand-Binding Vegetation in Arid Desert Ecosystem  JIA Xiao-hong, LI Xin-rong, ZHOU Yu-yan, et al. (938)
Factors Controlling Soil Organic Carbon and Total Nitrogen Densities in the Upstream Watershed of Miyun Reservoir, North China
WANG Shu-fang, WANG Xiao-ke, OUYANG Zhi-yun ( 946 )
Impact of Microbial Aggregating Agents on Soil Aggregate Stability Under Addition of Exogenous Nutrients MO Yan-hua, TANG Jia, ZHANG Ren-duo, et al. (952)
Adsorption of Aflatoxin on Montmorillonite Modified by Low-Molecular-Weight Humic Acids
Influence of Operating Parameters on Surfactant-enhanced Washing to Remedy PAHs Contaminated Soil
Study on the Land Use Optimization Based on PPI WU Xiao-feng, LI Ting (971)
Research on Algal Diversity in Zoige Alpine Wetland
Effects of Three Fungicides on Arbuscular Mycorrhizal Fungal Infection and Growth of Scutellaria baicalensis Georgi HE Xue-li, WANG Ping, MA Li, et al. (987)  Community Structure and Spatial Distribution of Anaerobic Ammonium Oxidation Bacteria in the Sediments of Chongming Eastern Tidal Flat in Summer
Community Structure and Spatial Distribution of Anaerobic Ammonium Oxidation Bacteria in the Sediments of Chongming Eastern 11dal Flat in Summer
Microbial Degradation of 2,2',4,4'-Tetrabrominated Diphenyl Ether Under Anaerobic Condition LU Xiao-xia, CHEN Chao-qi, ZHANG Shu, et al. (1000)
Effect of Heavy Metals on Degradation of BDE-209 by White-rot Fungus
Biodegradation Mechanism of DDT and Chlorpyrifos Using Molecular Simulation LIN Yu-zhen, ZENG Guang-ming, ZHANG Yu, et al. (1015)
Construction of a Microbial Consortium RXS with High Degradation Ability for Cassava Residues and Studies on Its Fermentative Characteristics
HE Jiang, MAO Zhong-gui, ZHANG Qing-hua, et al. (1020)
Anaerobic Digestion of Animal Manure Contaminated by Tetracyclines
Continuous Dry Fermentation of Pig Manure Using Up Plug-Flow Type Anaerobic Reactor

# 《环境科学》第6届编辑委员会

主 编:欧阳自远

副主编:赵景柱 郝吉明 田 刚

编 委:(按姓氏笔画排序)

万国江 王华聪 王凯军 王绪绪 田 刚 田 静 史培军

朱永官 刘志培 汤鸿霄 陈吉宁 孟 伟 周宗灿 林金明

欧阳自远 赵景柱 姜 林 郝郑平 郝吉明 聂永丰 黄 霞

黄耀 鲍强潘纲潘涛魏复盛

# 环枪种草

## (HUANJING KEXUE)

(月刊 1976年8月创刊) 2012年3月15日 33卷 第3期

## ENVIRONMENTAL SCIENCE

(Monthly Started in 1976)

Vol. 33 No. 3 Mar. 15, 2012

主	管	中国科学院	Superintended	by	Chinese Academy of Sciences
主	办	中国科学院生态环境研究中心	Sponsored	by	Research Center for Eco-Environmental Sciences, Chinese
协	办	(以参加先后为序)			Academy of Sciences
		北京市环境保护科学研究院	Co-Sponsored	by	Beijing Municipal Research Institute of Environmental
		清华大学环境学院			Protection
主	编	欧阳自远			School of Environment, Tsinghua University
编	辑	《环境科学》编辑委员会	Editor-in -Chief OUYANG Zi-yuan		OUYANG Zi-yuan
2m	74	北京市 2871 信箱(海淀区双清路	Edited	by	The Editorial Board of Environmental Science (HUANJING
		18号,邮政编码:100085)			KEXUE)
		电话:010-62941102,010-62849343			P. O. Box 2871, Beijing 100085, China
		传真:010-62849343			Tel: 010-62941102, 010-62849343; Fax: 010-62849343
		E-mail; hjkx@ rcees. ac. cn			E-mail; hjkx@ rcees. ac. cn
		http://www.hjkx.ac.cn			http://www. hjkx. ac. cn
出	版	4 学 出 版 社	Published	by	Science Press
щ	700	北京东黄城根北街 16 号			16 Donghuangchenggen North Street,
		邮政编码:100717			Beijing 100717, China
印刷装	ŧίΤ	北京北林印刷厂	Printed	by	Beijing Bei Lin Printing House
发	行	舒 学 出 版 社	Distributed	by	Science Press
		电话:010-64017032			Tel:010-64017032
		E-mail: journal@ mail. sciencep. com			E-mail:journal@mail.sciencep.com
订 购	处	全国各地邮电局	Domestic		All Local Post Offices in China
国外总统	发行	中国国际图书贸易总公司	Foreign		China International Book Trading Corporation (Guoji
		(北京 399 信箱)			Shudian), P. O. Box 399, Beijing 100044, China

中国标准刊号: ISSN 0250-3301 CN 11-1895/X

国内邮发代号: 2-821

国内定价:70.00元

国外发行代号: M 205

国内外公开发行